



# **ADSORPSI LIMBAH LOGAM BERAT NIKEL ( $Ni^{2+}$ ) DENGAN MENGGUNAKAN KOMPOSIT NANO KARBON**

## **Laporan Penelitian**

Disusun untuk memenuhi tugas akhir guna mencapai gelar  
sarjana di bidang Ilmu Teknik Kimia

oleh:

**Luke Mitchell (2014620104)**

Pembimbing:

**Arenst Andreas, S.T., S.Si., M.Sc., Ph.D.**

**Hans Kristianto, S.T., M.T.**



**JURUSAN TEKNIK KIMIA  
FAKULTAS TEKNOLOGI INDUSTRI  
UNIVERSITAS KATOLIK PARAHYANGAN  
BANDUNG  
2018**

No. Keranjang	TK MIT a/10
Tanggal	7 Februari 2010
No. Induk	4344 - FTI / SKP 36812
Divisi :	
Hadiah / Puluhan	
Dari :	FTI



## LEMBAR PENGESAHAN

JUDUL : **ADSORPSI LIMBAH LOGAM BERAT NIKEL ( $Ni^{2+}$ ) DENGAN MENGGUNAKAN KOMPOSIT NANO KARBON**

CATATAN :

Telah diperiksa dan disetujui,

Bandung, 7 Agustus 2018

Pembimbing Pertama

A handwritten signature in black ink, appearing to read "Arenst".

Arenst Andreas, S.T., S.Si., M.Sc., Ph.D.

Pembimbing Kedua

A handwritten signature in black ink, appearing to read "Hans Kristianto".

Hans Kristianto, S.T., M.T.



Program Studi Teknik Kimia  
Fakultas Teknologi Industri  
Universitas Katolik Parahyangan

### **SURAT PERNYATAAN**

Saya, yang bertanda tangan di bawah ini,

Nama : Luke Mitchell

NPM : 2014620104

dengan ini menyatakan bahwa Laporan Penelitian dengan judul:

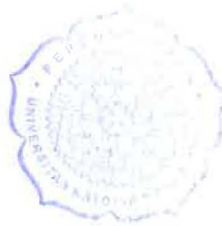
### **ADSORPSI LIMBAH LOGAM BERAT NIKEL ( $Ni^{2+}$ ) DENGAN MENGGUNAKAN KOMPOSIT NANO KARBON**

adalah hasil pekerjaan saya dan seluruh ide, pendapat, materi atau sumber lain telah dikutip dengan cara penulisan referensi yang sesuai.

Pernyataan ini saya buat dengan sebenar – benarnya dan jika pernyataan ini tidak sesuai dengan kenyataan maka saya bersedia menanggung sanksi sesuai dengan peraturan yang berlaku.

Bandung, 7 Agustus 2018

Luke Mitchell  
(2014620104)



## LEMBAR REVISI

JUDUL : **ADSORPSI LIMBAH LOGAM BERAT NIKEL ( $Ni^{2+}$ ) DENGAN MENGGUNAKAN KOMPOSIT NANO KARBON**

CATATAN :

Telah diperiksa dan disetujui,

Bandung, 7 Agustus 2018

Pengaji

Ratna Frida Susanti, Ph.D.

Pengaji

Kevin Cleary Wanta, S.T., M. Eng.

## DAFTAR ISI



COVER DEPAN .....	i
LEMBAR PENGESAHAN .....	ii
SURAT PERNYATAAN .....	iii
LEMBAR REVISI .....	iv
DAFTAR ISI .....	v
DAFTAR GAMBAR .....	ix
DAFTAR TABEL .....	xiii
DAFTAR SIMBOL .....	xvi
KATA PENGANTAR .....	xvii
INTISARI .....	xviii
BAB I PENDAHULUAN .....	1
1.1 Latar Belakang .....	1
1.2 Tema Sentral Masalah .....	2
1.3 Identifikasi Masalah .....	3
1.4 Hipotesis .....	3
1.5 Tujuan Penelitian .....	3
1.6 Manfaat Penelitian .....	4
1.7 Premis .....	5
BAB II TINJAUAN PUSTAKA .....	6
2.1 Adsorpsi .....	6
2.1.1 Pengertian Adsorpsi .....	6
2.1.2 Adsorpsi Fisika dan Adsorpsi Kimia .....	7
2.1.3 Kinetika Adsorpsi .....	9
2.1.3.1 Orde 1 Semu .....	9
2.1.3.2 Orde 2 Semu .....	9
2.1.5 Isoterm Adsorpsi .....	10
2.1.5.1 Langmuir .....	10
2.1.5.2 Freundlich .....	10
2.2 Adsorben .....	11
2.2.1 Karbon aktif .....	11
2.2.2 <i>Carbon Nano Tube</i> .....	12

2.2.2.1 Metode Sintesis CNT .....	14
2.3 Logam Berat .....	17
2.3.1 Logam Berat Nikel .....	17
2.3.1.1 Zat Peng kompleks Ion Logam Nikel ( $\text{Ni}^{2+}$ ).....	17
2.4 Analisa Kadar Logam Berat Nikel ( $\text{Ni}^{2+}$ ) .....	18
<b>BAB III BAHAN DAN METODE .....</b>	<b>19</b>
3.1 Gambaran Umum Penelitian.....	19
3.2 Sintesis Komposit CNT .....	20
3.2.1 Alat dan Bahan Sintesis Komposit CNT.....	20
3.2.1.1 Alat Sintesis Komposit CNT .....	20
3.2.1.2 Bahan Sintesis Komposit CNT .....	20
3.2.2 Rangkaian Alat Percobaan.....	21
3.2.3 Prosedur Percobaan .....	21
3.2.3.1 Pembuatan Larutan Prekursor.....	21
3.2.3.2 Proses Sintesis Komposit CNT .....	22
3.3 Adsorpsi Logam Berat Nikel ( $\text{Ni}^{2+}$ ).....	23
3.3.1 Alat dan Bahan Adsorpsi Logam Berat Nikel ( $\text{Ni}^{2+}$ ) .....	23
3.3.1.1 Alat Adsorpsi Logam Berat Nikel ( $\text{Ni}^{2+}$ ).....	23
3.3.1.2 Bahan Adsorpsi Logam Berat Nikel ( $\text{Ni}^{2+}$ ) .....	24
3.3.2.1 Pembuatan Larutan Alkaline Dimetilglioksim 1%.....	24
3.3.2.2 Pembuatan Larutan Induk Logam Berat $\text{Ni}^{2+}$ .....	24
3.3.2.3 Pembuatan Larutan NaOH 5 M .....	25
3.3.2.4 Pembuatan Larutan Potassium Persulfat 5%.....	25
3.3.2.5 Pembuatan Larutan Natrium Tartrat 20%.....	25
3.3.2.6 Penentuan Panjang Gelombang Maksimum .....	25
3.3.2.7 Pembuatan Kurva Standar.....	26
3.3.2.8 Adsorpsi Larutan Logam Berat dengan Komposit CNT .....	26
3.3.2.9 Analisis Konsentrasi Logam Nikel Hasil Adsorpsi .....	30
3.4 Analisis Proses Adsorpsi .....	30
3.4.1 Analisis % removal.....	30
3.4.2 Analisis Kapasitas Adsorpsi .....	31
3.4.3 Analisis Kinetika Adsorpsi .....	31
3.4.3.1 Kinetika Orde 1 Semu.....	31
3.4.3.2 Kinetika Orde 2 Semu.....	31

3.5 Lokasi dan Rencana Kerja Penelitian .....	32
<b>BAB IV PEMBAHASAN .....</b>	<b>33</b>
4.1 Karakterisasi CNT .....	33
4.1.1 Analisa Scanning Electron Microscopy (SEM).....	33
4.1.2 Analisa EDS .....	34
4.1.3 Analisa XRD .....	35
4.2 Adsorpsi Ion Logam Berat Ni(II) dengan Komposit Nano Karbon .....	36
4.2.1 Adsorpsi Ion Logam Berat Ni(II) dengan Variasi pH .....	36
4.2.1.1 Penentuan % <i>Removal</i> .....	36
4.2.1.2 Penentuan Model Kinetika Adsorpsi .....	37
4.2.2 Adsorpsi Ion Logam Berat Ni(II) dengan Variasi Konsentrasi Awal Menggunakan Komposit CNT dan Karbon Aktif.....	38
4.2.2.1 Penentuan % Removal dan Model Isotermal Adsorpsi .....	39
4.2.2.2 Isotermal Langmuir.....	40
4.2.2.3 Isotermal Freundlich.....	41
4.2.2.4 Isotermal Temkin .....	41
4.2.2.5 Penentuan Model Kinetika Adsorpsi .....	42
4.2.3 Adsorpsi Ion Logam Berat Ni(II) dengan Variasi Massa Adsorben .....	45
4.2.3.1 Penentuan % <i>Removal</i> .....	45
4.2.3.2 Penentuan Model Kinetika Adsorpsi .....	45
4.2.4 Adsorpsi Ion Logam Berat Ni(II) dengan Variasi Temperatur .....	47
4.2.4.1 Penentuan % <i>Removal</i> .....	47
4.2.4.2 Penentuan Model Kinetika Adsorpsi .....	48
4.3 Perbandingan Komposit CNT dengan Adsorben Lain .....	50
<b>BAB V KESIMPULAN DAN SARAN .....</b>	<b>51</b>
5.1 Kesimpulan .....	51
5.2 Saran .....	51
<b>DAFTAR PUSTAKA .....</b>	<b>52</b>
<b>LAMPIRAN A .....</b>	<b>57</b>
A.1 Asam Sulfat ( $H_2SO_4$ ) .....	57
A.2 Asam Klorida (HCl).....	58
A.3 Natrium Hidroksida (NaOH) .....	59
A.4 Dimetilglioksim (dmgH <sub>2</sub> ) (bubuk).....	60
A.7 Ferrocene .....	61
A.8 Heksana.....	62

A.9	Minyak Goreng ( <i>Palm oil</i> ).....	63
A.10	Gas Nitrogen .....	63
LAMPIRAN B .....		64
B.1	Panjang Gelombang dan Kurva Standar Larutan Ion Logam Berat Ni (II) .....	64
B.2	Hasil Data Pengamatan Adsorpsi Ion Logam Berat Ni (II) Menggunakan Adsorben Komposit CNT pada Variasi pH .....	65
B.3	Hasil Data Pengamatan Adsorpsi Ion Logam Berat Ni (II) Menggunakan Adsorben Komposit CNT pada Variasi Konsentrasi Awal .....	69
B.4	Hasil Data Pengamatan Adsorpsi Ion Logam Berat Ni (II) Menggunakan Adsorben Karbon Aktif pada Variasi Konsentrasi Awal.....	77
B.5	Hasil Data Pengamatan Adsorpsi Ion Logam Berat Ni (II) Menggunakan Adsorben Komposit CNT pada Variasi Temperatur .....	85
B.6	Hasil Data Pengamatan Adsorpsi Ion Logam Berat Ni (II) Menggunakan Adsorben Komposit CNT pada Variasi Massa Adsorben .....	90
LAMPIRAN C .....		95
C.1	Panjang Gelombang Maksimum.....	95
C.2	Kurva Standar Larutan Ion Logam Berat Ni (II) .....	95
C.3	Adsorpsi Larutan Ion Logam Berat Ni (II) Menggunakan Adsorben Komposit CNT untuk Variasi Konsentrasi Awal .....	96
C.4	Adsorpsi Larutan Ion Logam Berat Ni (II) Menggunakan Adsorben Karbon Aktif untuk Variasi Konsentrasi Awal .....	105
C.5	Adsorpsi Larutan Ion Logam Berat Ni (II) Menggunakan Adsorben Komposit CNT untuk Variasi pH .....	114
C.6	Adsorpsi Larutan Ion Logam Berat Ni (II) Menggunakan Adsorben Komposit CNT Variasi Massa Adsorben .....	118
C.7	Adsorpsi Larutan Ion Logam Berat Ni (II) Menggunakan Adsorben Komposit CNT untuk Variasi Temperatur .....	123
LAMPIRAN D .....		128
D.1	Pembuatan Kurva Standar.....	128
D.2	Isotermal Adsorpsi Ion Logam Berat Ni (II) dengan Variasi Konsentrasi Awal 128	
D.2.1	Perhitungan Isoterm Langmuir .....	129
D.2.2	Perhitungan Isotermal Freundlich .....	130
D.2.3	Perhitungan Isotermal Temkin .....	131
D.3	Penentuan Kinetika Adsorpsi pada Variasi Konsentrasi Awal.....	132
D.3.1	Pseudo Orde 1 .....	132
D.3.2	Pseudo Orde 2 .....	134



## DAFTAR GAMBAR

<b>Gambar 2.1</b> Mekanisme Adsorpsi [16].....	7
<b>Gambar 2.2</b> Analisa SEM Karbon Aktif [23] .....	12
<b>Gambar 2.3</b> Hasil Analisa SEM Penelitian [9] .....	13
<b>Gambar 2.4</b> SWCNT dan MWCNT [9].....	14
<b>Gambar 2.5</b> Rangkaian alat metode nebulized spray pyrolysis [9]. ....	15
<b>Gambar 2.6</b> Rangkaian alat metode arc discharge [28] .....	15
<b>Gambar 2.7</b> Rangkaian alat metode CVD [9].....	16
<b>Gambar 2.8</b> Rangkaian alat metode laser abiation [28] .....	16
<b>Gambar 2.9</b> Struktur senyawa Dimetilglioksim [31].....	18
<b>Gambar 2.10</b> Reaksi Nikel dengan Dimetilglioksim [32] .....	18
<b>Gambar 3.1</b> Rangkaian alat yang digunakan saat percobaan sintesis komposit CNT .....	21
<b>Gambar 3.2</b> Proses sintesis larutan prekursor.....	22
<b>Gambar 3.3</b> Proses persiapan dan start up .....	22
<b>Gambar 3.4</b> Proses pemisahan dan shut down.....	23
<b>Gambar 3.5</b> Diagram Alir Pembuatan Larutan Dimetilglioksim.....	24
<b>Gambar 3.6</b> Diagram Alir Pembuatan Larutan Logam Nikel.....	24
<b>Gambar 3.7</b> Diagram Alir Pembuatan Larutan NaOH 5 M.....	25
<b>Gambar 3.8</b> Diagram Alir Pembuatan Larutan Postassium Persulfat 5% .....	25
<b>Gambar 3.9</b> Diagram Alir Pembuatan Larutan Natrium Tartrat 20% .....	25
<b>Gambar 3.10</b> Diagram Alir Penentuan Panjang Gelombang Maksimum.....	25
<b>Gambar 3.11</b> Diagram Alir Pembuatan Kurva Standar dengan Spektrofotometer.....	26
<b>Gambar 3.12</b> Diagram Alir Adsorpsi Larutan Logam Berat dengan Komposit CNT untuk Variasi pH.....	28
<b>Gambar 3.13</b> Diagram Alir Adsorpsi Larutan Logam Berat dengan Komposit CNT untuk Variasi Konsentrasi Awal .....	28
<b>Gambar 3.14</b> Diagram Alir Adsorpsi Larutan Logam Berat dengan Komposit CNT untuk Variasi Massa Adsorben .....	29
<b>Gambar 3.15</b> Diagram Alir Adsorpsi Larutan Logam Berat dengan Komposit CNT untuk Variasi Temperatur .....	29
<b>Gambar 3.16</b> Diagram Alir Analisis Kadar Logam Nikel Hasil Adsorpsi dengan Spektrofotometer .....	30
<b>Gambar 4.1</b> Hasil Analisa SEM Perbesaran 40.000x .....	33
<b>Gambar 4.2</b> Hasil Analisa EDS pada Sampel.....	34
<b>Gambar 4.3</b> Hasil Analisa XRD pada Sampel.....	35
<b>Gambar 4.4</b> Perbandingan Profil %Removal Terhadap Waktu pada Variasi pH .....	38
<b>Gambar 4.5</b> Pengaruh Konsentrasi Awal Terhadap %Removal .....	39
<b>Gambar 4.6</b> Perbandingan Profil %Removal Terhadap Waktu pada Variasi Konsentrasi Awal Menggunakan Komposit CNT .....	44
<b>Gambar 4.7</b> Perbandingan Profil %Removal Terhadap Waktu pada Variasi Konsentrasi Awal Menggunakan Karbon Aktif.....	44
<b>Gambar 4.8</b> Perbandingan Profil %Removal Terhadap Waktu pada Variasi Massa Adsorben ....	47
<b>Gambar C.1</b> Penentuan Panjang Gelombang Maksimum .....	95
<b>Gambar C.2</b> Grafik Kurva Standar Larutan Ion Logam Berat Ni (II) .....	95
<b>Gambar C.3</b> Grafik Fitting Isotermal Langmuir untuk Adsorben Komposit CNT pada Variasi Konsentrasi Awal .....	96

<b>Gambar C.4</b> Grafik Fitting Isotermal Freundlich untuk Adsorben Komposit CNT pada Variasi Konsentrasi Awal .....	96
<b>Gambar C.5</b> Grafik Fitting Isotermal Temkin untuk Adsorben Komposit CNT pada Variasi Konsentrasi Awal .....	97
<b>Gambar C.6</b> Grafik Kinetika Adsorpsi Pseudo Orde Satu pada Konsentrasi Awal 60 ppm Menggunakan Adsorben Komposit CNT.....	97
<b>Gambar C.7</b> Grafik Kinetika Adsorpsi Pseudo Orde Dua pada Konsentrasi Awal 60 ppm Menggunakan Adsorben Komposit CNT .....	98
<b>Gambar C.8</b> Grafik Perbandingan Model Pseudo Orde Satu dan Dua dengan Data Percobaan pada Konsentrasi Awal 60 ppm Menggunakan Adsorben Komposit CNT .....	98
<b>Gambar C.9</b> Grafik Kinetika Adsorpsi Pseudo Orde Satu pada Konsentrasi Awal 70 ppm Menggunakan Adsorben Komposit CNT .....	99
<b>Gambar C.10</b> Grafik Kinetika Adsorpsi Pseudo Orde Dua pada Konsentrasi Awal 70 ppm Menggunakan Adsorben Komposit CNT .....	99
<b>Gambar C.11</b> Grafik Perbandingan Model Pseudo Orde Satu dan Dua dengan Data Percobaan pada Konsentrasi Awal 70 ppm Menggunakan Adsorben Komposit CNT .....	100
<b>Gambar C.12</b> Grafik Kinetika Adsorpsi Pseudo Orde Satu pada Konsentrasi Awal 80 ppm Menggunakan Adsorben Komposit CNT .....	100
<b>Gambar C.13</b> Grafik Kinetika Adsorpsi Pseudo Orde Dua pada Konsentrasi Awal 80 ppm Menggunakan Adsorben Komposit CNT .....	101
<b>Gambar C.14</b> Grafik Perbandingan Model Pseudo Orde Satu dan Dua dengan Data Percobaan pada Konsentrasi Awal 80 ppm Menggunakan Adsorben Komposit CNT .....	101
<b>Gambar C.15</b> Grafik Kinetika Adsorpsi Pseudo Orde Satu pada Konsentrasi Awal 90 ppm Menggunakan Adsorben Komposit CNT .....	102
<b>Gambar C.16</b> Grafik Kinetika Adsorpsi Pseudo Orde Dua pada Konsentrasi Awal 90 ppm Menggunakan Adsorben Komposit CNT .....	102
<b>Gambar C.17</b> Grafik Perbandingan Model Pseudo Orde Satu dan Dua dengan Data Percobaan pada Konsentrasi Awal 90 ppm Menggunakan Adsorben Komposit CNT .....	103
<b>Gambar C.18</b> Grafik Kinetika Adsorpsi Pseudo Orde Satu pada Konsentrasi Awal 100 ppm Menggunakan Adsorben Komposit CNT .....	103
<b>Gambar C.19</b> Grafik Kinetika Adsorpsi Pseudo Orde Dua pada Konsentrasi Awal 100 ppm Menggunakan Adsorben Komposit CNT .....	104
<b>Gambar C.20</b> Grafik Perbandingan Model Pseudo Orde Satu dan Dua dengan Data Percobaan pada Konsentrasi Awal 100 ppm Menggunakan Adsorben Komposit CNT .....	104
<b>Gambar C.21</b> Grafik Fitting Isotermal Langmuir untuk Adsorben Karbon Aktif pada Variasi Konsentrasi Awal .....	105
<b>Gambar C.22</b> Grafik Fitting Isotermal Freundlich untuk Adsorben Karbon Aktif pada Variasi Konsentrasi Awal .....	105
<b>Gambar C.23</b> Grafik Fitting Isotermal Temkin untuk Adsorben Karbon Aktif pada Variasi Konsentrasi Awal .....	106
<b>Gambar C.24</b> Grafik Kinetika Adsorpsi Pseudo Orde Satu pada Konsentrasi Awal 60 ppm Menggunakan Adsorben Karbon Aktif .....	106
<b>Gambar C.25</b> Grafik Kinetika Adsorpsi Pseudo Orde Dua pada Konsentrasi Awal 60 ppm Menggunakan Adsorben Karbon Aktif .....	107
<b>Gambar C.26</b> Grafik Perbandingan Model Pseudo Orde Satu dan Dua dengan Data Percobaan pada Konsentrasi Awal 60 ppm Menggunakan Adsorben Karbon Aktif .....	107
<b>Gambar C.27</b> Grafik Kinetika Adsorpsi Pseudo Orde Satu pada Konsentrasi Awal 70 ppm Menggunakan Adsorben Karbon Aktif .....	108

<b>Gambar C.28</b> Grafik Kinetika Adsorpsi Pseudo Orde Dua pada Konsentrasi Awal 70 ppm Menggunakan Adsorben Karbon Aktif.....	108
<b>Gambar C.29</b> Grafik Perbandingan Model Pseudo Orde Satu dan Dua dengan Data Percobaan pada Konsentrasi Awal 70 ppm Menggunakan Adsorben Karbon Aktif.....	109
<b>Gambar C.30</b> Grafik Kinetika Adsorpsi Pseudo Orde Satu pada Konsentrasi Awal 80 ppm Menggunakan Adsorben Karbon Aktif.....	109
<b>Gambar C.31</b> Grafik Kinetika Adsorpsi Pseudo Orde Dua pada Konsentrasi Awal 80 ppm Menggunakan Adsorben Karbon Aktif.....	110
<b>Gambar C.32</b> Grafik Perbandingan Model Pseudo Orde Satu dan Dua dengan Data Percobaan pada Konsentrasi Awal 80 ppm Menggunakan Adsorben Karbon Aktif.....	110
<b>Gambar C.33</b> Grafik Kinetika Adsorpsi Pseudo Orde Satu pada Konsentrasi Awal 90 ppm Menggunakan Adsorben Karbon Aktif.....	111
<b>Gambar C.34</b> Grafik Kinetika Adsorpsi Pseudo Orde Dua pada Konsentrasi Awal 90 ppm Menggunakan Adsorben Karbon Aktif.....	111
<b>Gambar C.35</b> Grafik Perbandingan Model Pseudo Orde Satu dan Dua dengan Data Percobaan pada Konsentrasi Awal 90 ppm Menggunakan Adsorben Karbon Aktif.....	112
<b>Gambar C.36</b> Grafik Kinetika Adsorpsi Pseudo Orde Satu pada Konsentrasi Awal 100 ppm Menggunakan Adsorben Karbon Aktif.....	112
<b>Gambar C.37</b> Grafik Kinetika Adsorpsi Pseudo Orde Dua pada Konsentrasi Awal 100 ppm Menggunakan Adsorben Karbon Aktif.....	113
<b>Gambar C.38</b> Grafik Perbandingan Model Pseudo Orde Satu dan Dua dengan Data Percobaan pada Konsentrasi Awal 100 ppm Menggunakan Adsorben Karbon Aktif.....	113
<b>Gambar C.39</b> Grafik Kinetika Adsorpsi Pseudo Orde Satu pada pH 2 Menggunakan Adsorben Komposit CNT .....	114
<b>Gambar C.40</b> Grafik Kinetika Adsorpsi Pseudo Orde Dua pada pH 2 Menggunakan Adsorben Komposit CNT .....	114
<b>Gambar C.41</b> Grafik Perbandingan Model Pseudo Orde Satu dan Dua dengan Data Percobaan pada pH 2 Menggunakan Adsorben Komposit CNT .....	115
<b>Gambar C.42</b> Grafik Kinetika Adsorpsi Pseudo Orde Satu pada pH 6 Menggunakan Adsorben Komposit CNT .....	115
<b>Gambar C.43</b> Grafik Kinetika Adsorpsi Pseudo Orde Dua pada pH 6 Menggunakan Adsorben Komposit CNT .....	116
<b>Gambar C.44</b> Grafik Perbandingan Model Pseudo Orde Satu dan Dua dengan Data Percobaan pada pH 6 Menggunakan Adsorben Komposit CNT .....	116
<b>Gambar C.45</b> Grafik Kinetika Adsorpsi Pseudo Orde Satu pada pH 9 Menggunakan Adsorben Komposit CNT .....	117
<b>Gambar C.46</b> Grafik Kinetika Adsorpsi Pseudo Orde Dua pada pH 9 Menggunakan Adsorben Komposit CNT .....	117
<b>Gambar C.47</b> Grafik Perbandingan Model Pseudo Orde Satu dan Dua dengan Data Percobaan pada pH 9 Menggunakan Adsorben Komposit CNT .....	118
<b>Gambar C.48</b> Grafik Kinetika Adsorpsi Pseudo Orde Satu pada Variasi Massa Adsorben 30 mg Menggunakan Adsorben Komposit CNT .....	118
<b>Gambar C.49</b> Grafik Kinetika Adsorpsi Pseudo Orde Dua pada Variasi Massa Adsorben 30 mg Menggunakan Adsorben Komposit CNT .....	119
<b>Gambar C.50</b> Grafik Perbandingan Model Pseudo Orde Satu dan Dua dengan Data Percobaan pada Variasi Massa Adsorben 30 mg Menggunakan Adsorben Komposit CNT .....	119
<b>Gambar C.51</b> Grafik Kinetika Adsorpsi Pseudo Orde Satu pada Variasi Massa Adsorben 60 mg Menggunakan Adsorben Komposit CNT .....	120

<b>Gambar C.52</b> Grafik Kinetika Adsorpsi Pseudo Orde Dua pada Variasi Massa Adsorben 60 mg Menggunakan Adsorben Komposit CNT.....	120
<b>Gambar C.53</b> Grafik Perbandingan Model Pseudo Orde Satu dan Dua dengan Data Percobaan pada Variasi Massa Adsorben 60 mg Menggunakan Adsorben Komposit CNT .....	121
<b>Gambar C.54</b> Grafik Kinetika Adsorpsi Pseudo Orde Satu pada Variasi Massa Adsorben 90 mg Menggunakan Adsorben Komposit CNT.....	121
<b>Gambar C.55</b> Grafik Kinetika Adsorpsi Pseudo Orde Dua pada Variasi Massa Adsorben 90 mg Menggunakan Adsorben Komposit CNT.....	122
<b>Gambar C.56</b> Grafik Perbandingan Model Pseudo Orde Satu dan Dua dengan Data Percobaan pada Variasi Massa Adsorben 90 mg Menggunakan Adsorben Komposit CNT .....	122
<b>Gambar C.57</b> Grafik Kinetika Adsorpsi Pseudo Orde Satu pada Suhu 25°C Menggunakan Adsorben Komposit CNT .....	123
<b>Gambar C.58</b> Grafik Kinetika Adsorpsi Pseudo Orde Dua pada Suhu 25°C Menggunakan Adsorben Komposit CNT .....	123
<b>Gambar C.59</b> Grafik Perbandingan Model Pseudo Orde Satu dan Dua dengan Data Percobaan pada Suhu 25°C Menggunakan Adsorben Komposit CNT .....	124
<b>Gambar C.60</b> Grafik Kinetika Adsorpsi Pseudo Orde Satu pada Suhu 35°C Menggunakan Adsorben Komposit CNT .....	124
<b>Gambar C.61</b> Grafik Kinetika Adsorpsi Pseudo Orde Dua pada Suhu 35°C Menggunakan Adsorben Komposit CNT .....	125
<b>Gambar C.62</b> Grafik Perbandingan Model Pseudo Orde Satu dan Dua dengan Data Percobaan pada Suhu 35°C Menggunakan Adsorben Komposit CNT .....	125
<b>Gambar C.63</b> Grafik Kinetika Adsorpsi Pseudo Orde Satu pada Suhu 45°C Menggunakan Adsorben Komposit CNT .....	126
<b>Gambar C.64</b> Grafik Kinetika Adsorpsi Pseudo Orde Dua pada Suhu 45°C Menggunakan Adsorben Komposit CNT .....	126
<b>Gambar C.67</b> Grafik Perbandingan Model Pseudo Orde Satu dan Dua dengan Data Percobaan pada Suhu 45°C Menggunakan Adsorben Komposit CNT .....	127



## DAFTAR TABEL

<b>Tabel 1.1</b> Adsorpsi Logam Berat Nikel ( $Ni^{2+}$ ) dengan Adsorben CNT dan Karbon Aktif pada Berbagai Kondisi.....	5
<b>Tabel 2.1</b> Perbandingan Adsorpsi Fisika dan Adsorpsi Kimia [17] [19].....	8
<b>Tabel 3.1</b> Variasi pH Larutan Awal.....	26
<b>Tabel 3.2</b> Variasi Konsentrasi Larutan Nikel ( $Ni^{2+}$ ) Awal .....	27
<b>Tabel 3.3</b> Variasi Massa Adsorben Komposit CNT .....	27
<b>Tabel 3.4</b> Variasi Temperatur .....	27
<b>Tabel 3.5</b> Rencana Kerja Penelitian .....	32
<b>Tabel 4.1</b> Perbandingan Hasil Analisa EDS dengan Peneliti Sebelumnya.....	34
<b>Tabel 4.2</b> %Removal pada Variasi pH .....	36
<b>Tabel 4.3</b> Kinetika Adsorpsi Terhadap Variasi pH .....	37
<b>Tabel 4.4</b> Parameter Model Adsorpsi Isotermal .....	40
<b>Tabel 4.5</b> Kinetika Adsorpsi Terhadap Variasi Konsentrasi Awal.....	42
<b>Tabel 4.6</b> %Removal pada Variasi Massa Adsorben.....	45
<b>Tabel 4.7</b> Kinetika Adsorpsi Terhadap Variasi Massa Adsorben.....	46
<b>Tabel 4.8</b> %Removal pada Variasi Temperatur.....	48
<b>Tabel 4.9</b> Kinetika Adsorpsi Terhadap Variasi Massa Adsorben.....	48
<b>Tabel 4.10</b> Perbandingan Komposit CNT dengan Adsorben Lain .....	50
<b>Tabel B.1</b> Data Panjang Gelombang .....	64
<b>Tabel B.2</b> Data Kurva Standar Ion Logam Berat Ni (II) .....	64
<b>Tabel B.3</b> Hasil %Removal Ion Logam Berat Ni (II) dengan Adsorben Komposit CNT untuk Variasi pH .....	65
<b>Tabel B.4</b> Hasil Pseudo Orde Satu untuk Adsorben Komposit CNT pada pH 2 .....	65
<b>Tabel B.5</b> Hasil Pseudo Orde Satu untuk Adsorben Komposit CNT pada pH 6 .....	66
<b>Tabel B.6</b> Hasil Pseudo Orde Satu untuk Adsorben Komposit CNT pada pH 9 .....	66
<b>Tabel B.7</b> Hasil Parameter Pseudo Orde Satu untuk Komposit CNT pada Variasi pH.....	67
<b>Tabel B.8</b> Hasil Pseudo Orde Dua untuk Adsorben Komposit CNT pada pH 2 .....	67
<b>Tabel B.9</b> Hasil Pseudo Orde Dua untuk Adsorben Komposit CNT pada pH 6 .....	68
<b>Tabel B.10</b> Hasil Pseudo Orde Dua untuk Adsorben Komposit CNT pada pH 9 .....	68
<b>Tabel B.11</b> Hasil Parameter Pseudo Orde Dua untuk Adsorben Komposit CNT pada Variasi pH .....	69
<b>Tabel B.12</b> Hasil %Removal Ion Logam Berat Ni (II) dengan Adsorben Komposit CNT untuk Variasi Konsentrasi Awal.....	69
<b>Tabel B.13</b> Hasil Antara Isotermal Langmuir untuk Adsorben Komposit CNT .....	69
<b>Tabel B.14</b> Hasil Parameter Langmuir untuk Adsorben Komposit CNT .....	70
<b>Tabel B.15</b> Hasil Antara Isotermal Freundlich untuk Adsorben Komposit CNT .....	70
<b>Tabel B.16</b> Hasil Parameter Freundlich untuk Adsorben Komposit CNT .....	70
<b>Tabel B.17</b> Hasil Antara Isotermal Temkin untuk Adsorben Komposit CNT .....	70
<b>Tabel B.18</b> Hasil Parameter Temkin untuk Adsorben Komposit CNT .....	71
<b>Tabel B.19</b> Hasil Pseudo Orde Satu untuk Adsorben Komposit CNT pada Konsentrasi 60 ppm ..	71
<b>Tabel B.20</b> Hasil Pseudo Orde Satu untuk Adsorben Komposit CNT pada Konsentrasi 70 ppm ..	72
<b>Tabel B.21</b> Hasil Pseudo Orde Satu untuk Adsorben Komposit CNT pada Konsentrasi 80 ppm ..	72
<b>Tabel B.22</b> Hasil Pseudo Orde Satu untuk Adsorben Komposit CNT pada Konsentrasi 90 ppm ..	73
<b>Tabel B.23</b> Hasil Pseudo Orde Satu untuk Adsorben Komposit CNT pada Konsentrasi 100 ppm ..	73
<b>Tabel B.24</b> Hasil Parameter Pseudo Orde Satu untuk Adsorben Komposit CNT pada Variasi Konsentrasi Awal .....	74

<b>Tabel B.25</b> Hasil Pseudo Orde Dua untuk Adsorben Komposit CNT pada Konsentrasi 60 ppm ...	74
<b>Tabel B.26</b> Hasil Pseudo Orde Dua untuk Adsorben Komposit CNT pada Konsentrasi 70 ppm ...	75
<b>Tabel B.27</b> Hasil Pseudo Orde Dua untuk Adsorben Komposit CNT pada Konsentrasi 80 ppm ...	75
<b>Tabel B.28</b> Hasil Pseudo Orde Dua untuk Adsorben Komposit CNT pada Konsentrasi 90 ppm ...	76
<b>Tabel B.29</b> Hasil Pseudo Orde Dua untuk Adsorben Komposit CNT pada Konsentrasi 100 ppm.	76
<b>Tabel B.30</b> Hasil Parameter Pseudo Orde Dua untuk Adsorben Komposit CNT pada Variasi Konsentrasi Awal.....	77
<b>Tabel B.31</b> Hasil %Removal Ion Logam Berat Ni (II) dengan Adsorben Karbon Aktif untuk Variasi Konsentrasi Awal.....	77
<b>Tabel B.32</b> Hasil Antara Isotermal Langmuir untuk Adsorben Karbon Aktif .....	78
<b>Tabel B.33</b> Hasil Parameter Langmuir untuk Adsorben Karbon Aktif .....	78
<b>Tabel B.34</b> Hasil Antara Isotermal Freundlich untuk Adsorben Karbon Aktif.....	78
<b>Tabel B.35</b> Hasil Parameter Isotermal Freundlich untuk Adsorben Karbon Aktif.....	78
<b>Tabel B.36</b> Hasil Antara Isotermal Temkin untuk Adsorben Karbon Aktif.....	79
<b>Tabel B.37</b> Hasil Parameter Isotermal Temkin untuk Adsorben Karbon Aktif .....	79
<b>Tabel B.38</b> Hasil Pseudo Orde Satu untuk Adsorben Karbon Aktif pada Konsentrasi 60 ppm.....	79
<b>Tabel B.39</b> Hasil Pseudo Orde Satu untuk Adsorben Karbon Aktif pada Konsentrasi 70 ppm.....	80
<b>Tabel B.40</b> Hasil Pseudo Orde Satu untuk Adsorben Karbon Aktif pada Konsentrasi 80 ppm.....	80
<b>Tabel B.41</b> Hasil Pseudo Orde Satu untuk Adsorben Karbon Aktif pada Konsentrasi 90 ppm.....	81
<b>Tabel B.42</b> Hasil Pseudo Orde Satu untuk Adsorben Karbon Aktif pada Konsentrasi 100 ppm....	81
<b>Tabel B.43</b> Hasil Parameter Pseudo Orde Satu untuk Adsorben Karbon Aktif pada Variasi Konsentrasi Awal .....	82
<b>Tabel B.44</b> Hasil Pseudo Orde Dua untuk Adsorben Karbon Aktif pada Konsentrasi 60 ppm .....	82
<b>Tabel B.45</b> Hasil Pseudo Orde Dua untuk Adsorben Karbon Aktif pada Konsentrasi 70 ppm .....	83
<b>Tabel B.46</b> Hasil Pseudo Orde Dua untuk Adsorben Karbon Aktif pada Konsentrasi 80 ppm .....	83
<b>Tabel B.47</b> Hasil Pseudo Orde Dua untuk Adsorben Karbon Aktif pada Konsentrasi 90 ppm .....	84
<b>Tabel B.48</b> Hasil Pseudo Orde Dua untuk Adsorben Karbon Aktif pada Konsentrasi 100 ppm ....	84
<b>Tabel B.49</b> Hasil Parameter Pseudo Orde Dua untuk Adsorben Karbon Aktif pada Variasi Konsentrasi Awal .....	85
<b>Tabel B.50</b> Hasil %Removal Ion Logam Berat Ni (II) dengan Adsorben Komposit CNT untuk Variasi Temperatur.....	85
<b>Tabel B.51</b> Hasil Pseudo Orde Satu untuk Adsorben Komposit CNT pada Suhu 25°C .....	86
<b>Tabel B.52</b> Hasil Pseudo Orde Satu untuk Adsorben Komposit CNT pada Suhu 35°C .....	86
<b>Tabel B.53</b> Hasil Pseudo Orde Satu untuk Adsorben Komposit CNT pada Suhu 45°C .....	87
<b>Tabel B.54</b> Hasil Parameter Pseudo Orde Satu untuk Adsorben Komposit CNT pada Variasi Temperatur .....	87
<b>Tabel B.55</b> Hasil Pseudo Orde Dua untuk Adsorben Komposit CNT pada Suhu 25°C .....	88
<b>Tabel B.56</b> Hasil Pseudo Orde Dua untuk Adsorben Komposit CNT pada Suhu 35°C .....	88
<b>Tabel B.57</b> Hasil Pseudo Orde Dua untuk Adsorben Komposit CNT pada Suhu 45°C .....	89
<b>Tabel B.58</b> Hasil Parameter Pseudo Orde Dua untuk Adsorben Komposit CNT pada Variasi Temperatur .....	89
<b>Tabel B.59</b> Hasil %Removal Ion Logam Ni (II) dengan Adsorben Komposit CNT untuk Variasi Massa Adsorben .....	90
<b>Tabel B.60</b> Hasil Pseudo Orde Satu untuk Adsorben Komposit CNT pada Variasi Massa 30 mg.	90
<b>Tabel B.61</b> Hasil Pseudo Orde Satu untuk Adsorben Komposit CNT pada Variasi Massa 60 mg.	91
<b>Tabel B.62</b> Hasil Pseudo Orde Satu untuk Adsorben Komposit CNT pada Variasi Massa 90 mg.	91

<b>Tabel B.63</b> Hasil Parameter Pseudo Orde Satu untuk Adsorben Komposit CNT pada Variasi Massa Adsorben .....	92
<b>Tabel B.64</b> Hasil Pseudo Orde Dua untuk Adsorben Komposit CNT pada Variasi Massa 30 mg .	92
<b>Tabel B.65</b> Hasil Pseudo Orde Dua untuk Adsorben Komposit CNT pada Variasi Massa 60 mg .	93
<b>Tabel B.66</b> Hasil Pseudo Orde Dua untuk Adsorben Komposit CNT pada Variasi Massa 90 mg .	93
<b>Tabel B.67</b> Hasil Parameter Pseudo Orde Dua untuk Adsorben Komposit CNT pada Variasi Massa Adsorben .....	94



## DAFTAR SIMBOL

- $\beta$  = panas sorpsi pada isoterm Temkin, J/mol  
 $b$  = konstanta Temkin yang berhubungan dengan panas sorpsi  
 $C_e$  = konsentrasi Ni(II) saat kesetimbangan, g/L  
 $C_0$  = konsentrasi Ni(II) saat mula-mula, g/L  
 $C_t$  = konsentrasi Ni(II) saat waktu tertentu, g/L  
 $E$  = panas yang dihasilkan adsorpsi, J/mol  
 $k_1$  = konstanta laju kesetimbangan *pseudo orde* pertama, 1/menit  
 $k_2$  = konstanta laju kesetimbangan *pseudo orde* kedua, g adsorben/mg  $Ni^{2+}$ .mnt  
 $K_a$  = konstanta Langmuir yang berhubungan dengan kapasitas adsorpsi, L/mg  
 $K_f$  = konstanta isoterm Freundlich, mg  $Ni^{2+}$ /g adsorben  
 $n$  = intensitas adsorpsi  
 $q_e$  = kapasitas adsorpsi saat kesetimbangan,  
 $q_t$  = kapasitas adsorpsi saat waktu tertentu,  
 $q_m$  = kapasitas maksimum adsorben, mg  $Ni^{2+}$ /g adsorben  
 $R$  = konstanta, (=8,314 J/mol K)  
 $V$  = Volume larutan, L  
 $W$  = Massa adsorben, g

## KATA PENGANTAR



Puji syukur penulis panjatkan kepada Tuhan Yang Maha Esa atas berkat dan anugerah-Nya, sehingga laporan penelitian yang berjudul “Adsorpsi Limbah Logam Berat Nikel ( $Ni^{2+}$ ) Dengan Menggunakan Komposit Nano Karbon” dapat diselesaikan dengan baik dan tepat pada waktunya. Laporan penelitian ini disusun untuk memenuhi tugas akhir untuk mencapai gelar sarjana Strata – 1 Jurusan Teknik Kimia, Fakultas Teknologi Industri, Universitas Katolik Parahyangan, Bandung.

Dalam penyusunan laporan ini, penulis banyak mendapat bimbingan, pengarahan, dukungan, dan bantuan informasi dari berbagai pihak. Oleh karena itu, penulis ingin mengucapkan terima kasih kepada semua pihak yang turut membantu dan mendukung dalam menyusun laporan proposal / penelitian, terutama kepada:

1. Arenst Andreas, S.T., S.Si., MSc., Ph.D. dan Hans Kristianto, S.T., M.T. selaku dosen pembimbing yang telah memberikan bimbingan, pengarahan, serta saran selama penyusunan laporan penelitian ini.
2. Orang tua dan keluarga yang setia memberikan dukungan dan doa serta motivasi baik secara moril maupun materiil.
3. Teman dan sahabat yang telah memberi masukan, dukungan dan semangat kepada penulis.
4. Semua pihak yang telah turut membantu dalam penyusunan laporan penelitian ini baik secara langsung maupun tidak langsung.

Penulis menyadari bahwa masih terdapat banyak kekurangan dalam penyusunan proposal penelitian ini karena keterbatasan kemampuan dan pengetahuan penulis. Dengan demikian, penulis mengharapkan adanya kritik dan saran sebagai bahan perbaikan dalam penyusunan laporan berikutnya. Akhir kata, penulis mengucapkan terima kasih atas perhatian pembaca

Bandung, 3 Agustus 2018

Penulis



## INTISARI

Limbah industri banyak mengandung logam berat. Limbah logam berat tersebut jika kandungan logam beratnya melebihi ambang batas akan mencemari lingkungan dan membahayakan manusia. Salah satu logam berat yang banyak dihasilkan dalam limbah industri, khususnya industri *electroplating* adalah nikel. Pengolahan limbah logam berat dalam air yang paling sederhana, ekonomis, efisien, dan efektif dilakukan adalah dengan adsorpsi. Adsorben yang digunakan dalam proses adsorpsi ini adalah komposit CNT. Komposit CNT akan disintesis dari minyak goreng kelapa sawit dengan metode *nebulized spray pyrolysis* dengan kondisi temperature 850°C dan konsentrasi katalis *ferrocene* sebesar 0,015 g/mL. Material CNT dideposisikan langsung pada dinding tabung/ reaktor stainless steel.

Komposit CNT yang dihasilkan digunakan untuk menyerap ion logam berat Ni(II) dalam air dengan variasi konsentrasi awal Ni(II) (60 – 100 ppm), pH (2, 6, dan 9), jumlah adsorben (30, 60, dan 90 mg), dan temperatur (25, 35, 45°C) untuk memperoleh kondisi terbaik. Kandungan logam berat Ni(II) dalam air dianalisa menggunakan spektrofotometer UV-Vis dengan menggunakan peng kompleks dimetilglioksim (dmgH<sub>2</sub>) yang membentuk [Ni(dmgH)<sub>2</sub>] dan menghasilkan warna merah bata. Hasil penelitian ini diperoleh pada pH optimum 6 dengan %removal sebesar 55,658%, modal isothermal adsorpsi yang paling sesuai pada penelitian ini adalah model isothermal Langmuir dengan kapasitas adsorpsi (q<sub>m</sub>) sebesar 50,25 mg logam Ni<sup>2+</sup>/g adsorben, dan model kinetika adsorpsi model yang paling sesuai untuk data penelitian ini adalah merupakan *pseudo orde 2*.

Kata kunci: logam berat, adsorpsi, komposit CNT, Ni(II), *nebulized spray pyrolysis*



## ABSTRACT

Industrial waste contains heavy metals. If the heavy metal content exceeds the permissible limit, it will pollute the environment and harm human beings. One of the heavy metals produced in industrial waste, especially the electroplating industry is nickel. The most simple, economical, efficient, and effective effluent treatment of heavy metals in wastewater is by adsorption. The adsorbent used in the adsorption process is a CNT composite. CNT composite will be synthesized from palm cooking oil with nebulized spray pyrolysis method in temperature condition of 850°C and ferrocene catalyst concentration of 0,015 g / mL. CNT material then is positioned directly on the wall of the tube / stainless steel reactor.

The resulting CNT composite is used to absorb heavy metal ions Ni(II) in water with variations in initial concentrations of Ni(II) (60-100 ppm), pH (2, 6, and 9), the amount of adsorbent (30, 60 and 90 mg), and temperature (25, 35, 45°C) to obtain the best conditions. The heavy metal content of Ni(II) in water was analyzed using a UV-Vis spectrophotometer using the dimethylglyoxime (dmgH<sub>2</sub>) complex which formed [Ni(dmgH)<sub>2</sub>] and produced a brick red color. This study obtained a result at optimum pH 6 with % removal of 55,658%, the most suitable adsorption isothermal model in this study was Langmuir isothermal model with adsorption capacity (qm) of 50,25 mg metal Ni<sup>2+</sup>/g adsorbent, and model of kinetics adsorption model for this research data is pseudo order 2.

**Keywords:** heavy metal, adsorption, CNT composite, Ni(II), nebulized spray pyrolysis



## BAB I

### PENDAHULUAN

#### 1.1 Latar Belakang

Indonesia merupakan salah satu dari 10 negara penghasil Nikel terbesar di dunia yaitu dengan memproduksi 170.000 ton metrik setiap tahunnya [1]. Nikel berasal dari limbah kilang perak, *electroplating*, industri baterai, dan *zinc base casting* [2]. Banyaknya kegiatan pertambangan dapat menyebabkan pencemaran khususnya pencemaran air karena limbah yang dihasilkan mengandung logam berat dan salah satunya adalah  $\text{Ni}^{2+}$

Kadar logam  $\text{Ni}^{2+}$  dalam limbah yang akan dibuang tidak boleh melewati batas toleran yang diperbolehkan oleh regulasi pemerintah. Kadar maksimum  $\text{Ni}^{2+}$  dalam limbah industri electroplating adalah sebesar 1 ppm [3]. Kandungan  $\text{Ni}^{2+}$  yang melebihi ambang batas dalam tubuh manusia akan menyebabkan nyeri dada, muntah – muntah, sakit kepala, mual, dermatitis, kanker paru – paru, dan kanker tulang [2]. Maka dari itu, limbah yang akan dibuang harus diolah sehingga kadar logam beratnya tidak melebihi batas toleran yang diperbolehkan. Beberapa metode yang telah digunakan untuk menghilangkan kandungan logam berat adalah presipitasi kimia, pertukaran ion, *reverse osmosis*, elektrodialisis, koagulasi, flokulasi, filtrasi membran, dan adsorpsi [2].

Adsorpsi merupakan metode pengolahan air limbah tersier yang paling sederhana, ekonomis, efektif, dan serbaguna untuk menghilangkan kontaminan yang beracun dari limbah air [2]. Zat yang digunakan dalam adsorpsi disebut adsorben. Adsorben yang digunakan harus memiliki beberapa kriteria, seperti luas permukaan internal dan volume pori internal yang besar, mudah diregenerasi, memiliki kapasitas adsorpsi yang besar, mudah diregenerasi, dan harga bahan baku yang rendah [4]. Adsorben yang biasanya digunakan adalah karbon aktif, namun sekarang ini adsorben yang digunakan pada proses adsorpsi adalah CNT.

Penggunaan karbon aktif dalam pengolahan air mempunyai kelemahan yaitu kinetika adsorpsi yang lambat dan sulit untuk diregenerasi. CNT telah diuji dan ditemukan lebih efisien dibanding karbon aktif, selain itu juga mempunyai kapasitas adsorpsi yang lebih besar daripada karbon aktif [5]. Pada adsorpsi menggunakan CNT, tempat terjadinya adsorpsi dapat terjadi baik di lapisan dalam maupun lapisan luar permukaan CNT [6]. Namun harga CNT komersial sangat mahal, yaitu sekitar \$ 185 per gramnya. [7] Mahalnya harga CNT ini dikarenakan masih sulitnya mensintesis CNT secara massal, proses sintesis CNT kompleks, dan bahan baku untuk sintesis CNT sebagian besar merupakan senyawa toksik [8] Karena itu, komposit CNT akan disintesis dari minyak goreng kelapa sawit dengan menggunakan metode *nebulized spray pyrolysis* (NSP). Pemilihan metode ini dikarenakan metode NSP adalah salah satu metode yang aman digunakan karena beroperasi pada temperatur yang relatif rendah dan pada tekanan atmosferik. Penelitian sebelumnya yang dilakukan oleh [9] telah melakukan sintesis komposit CNT tetapi digunakan sebagai superkapasitor, pada penelitian ini komposit CNT yang disintesis akan digunakan sebagai adsorben. Kondisi optimum sintesis komposit CNT yang didapatkan dari penelitian yang dilakukan oleh [9] adalah temperatur operasi 850°C, konsentrasi katalis 0.015 g/mL, waktu operasi 30 menit, dan laju alir gas inert 1.21 sccm.

Pada penelitian ini akan digunakan komposit CNT yang akan disintesis dengan metode *nebulized spray pyrolysis* sebagai adsorben logam berat nikel ( $\text{Ni}^{2+}$ ) dan dipelajari lebih lanjut mengenai kinerja komposit CNT yang dapat dilihat dari % removal, kapasitas adsorpsi, dan kinetika adsorpsi.

## 1.2 Tema Sentral Masalah

Melakukan pengujian kinerja adsorben komposit CNT yang dibuat dengan penambahan katalis *ferrocene* sebesar 0,015 gr/ml pada suhu operasi 850°C dan akan digunakan sebagai adsorben untuk proses adsorpsi logam Ni(II) dengan berbagai variasi, seperti : pH, temperatur, konsentrasi awal logam, dan massa adsorben adsorben.

### 1.3 Identifikasi Masalah

1. Bagaimana kinerja adsorben komposit CNT ini dalam mengadsorpsi ion logam berat Ni(II)?
2. Bagaimana pengaruh pH larutan awal, massa adsorben, temperatur, dan konsentrasi awal ion logam berat Ni(II) dalam larutan terhadap kinerja adsorpsi dengan adsorben komposit CNT?
3. Berapa kapasitas adsorpsi maksimum dari adsorben komposit CNT pada proses adsorpsi larutan ion logam berat Ni(II)?
4. Bagaimana kinetika adsorpsi larutan logam berat nikel menggunakan komposit CNT?
5. Isotermal adsorpsi manakah yang mewakili kesetimbangan adsorpsi ion logam berat Ni(II) menggunakan komposit CNT?

### 1.4 Hipotesis

1. Semakin besar massa adsorben maka semakin banyak adsorbat yang dapat teradsorp
2. Kapasitas adsorpsi ion logam berat Ni(II) dipengaruhi oleh pH larutan, dimana terdapat pH optimum yang menghasilkan kapasitas adsorpsi paling besar
3. Kapasitas adsorpsi dipengaruhi oleh konsentrasi awal ion logam berat Ni(II), dimana semakin rendah konsentrasi awal ion logam, maka semakin tinggi jumlah ion logam yang terserap
4. Kinetika yang menjelaskan adsorpsi adalah pseudo orde 2
5. Persamaan isotermal yang mewakili kondisi adsorpsi adalah isotherm Langmuir

### 1.5 Tujuan Penelitian

1. Mengetahui kinerja adsorben komposit CNT dalam mengadsorpsi ion berat Ni(II)
2. Mengetahui pengaruh variasi seperti pH, konsentrasi awal, temperatur, dan massa adsorben pada adsorpsi ion logam berat Ni(II) menggunakan komposit CNT
3. Mengetahui kapasitas maksimum yang dapat dihasilkan komposit CNT dalam proses adsorpsi ion logam berat Ni(II)
4. Mengetahui kinetika adsorpsi yang menjelaskan adsorpsi logam kromium menggunakan komposit CNT
5. Mengetahui persamaan isotherm yang tepat untuk mewakili kondisi adsorpsi menggunakan komposit CNT

## 1.6 Manfaat Penelitian

Penelitian ini diharapkan mampu memberikan manfaat dan dampak baik bagi peneliti maupun bagi masyarakat luas, seperti:

### 1. Bagi ilmuwan

- Mampu mengetahui bahwa logam berat nikel ( $Ni^{2+}$ ) dapat dihilangkan melalui adsorpsi menggunakan adsorben komposit CNT serta mengetahui pengaruh pH, jumlah adsorben, dan konsentrasi awal larutan logam berat terhadap proses adsorpsi.
- Mampu mengetahui proses sintesis komposit CNT dengan metode *nebulized spray pyrolysis* dari minyak goreng kelapa sawit.

### 2. Bagi dunia industri

- Mampu memberikan metode alternatif bagi industri khususnya di Indonesia, bahwa limbah yang mengandung logam berat khususnya logam berat nikel dapat diolah melalui proses adsorpsi yang efektif dan efisien, serta ekonomis.

### 3. Bagi ilmu pengetahuan dan teknologi

- Mampu menambah wawasan dan pengetahuan mengenai pemanfaatan komposit CNT yaitu dapat digunakan untuk menghilangkan kandungan logam berat dalam air.

### 1.7 Premis

**Tabel 1.1 Adsorpsi Logam Berat Nikel ( $Ni^{2+}$ ) dengan Adsorben CNT dan Karbon Aktif pada Berbagai Kondisi**

Jenis Adsorben	Kondisi Adsorpsi				Kapasitas Adsorpsi Maksimum (mg/g)	Peneliti
	Temperatur	pH	Jumlah Adsorben (g/L)	Konsentrasi Awal Nikel ( $Ni^{2+}$ ) (ppm)		
Oxidized CNT	25°C	2 – 7	0.2	10 – 200	49.261	[5]
As-produced CNT	25°C	2 – 7	0.2	10 – 200	18.08	[5]
Oxidized MWCNTs	60 °C	3.5 – 8	0.75	6-20	9.8	[10]
MAC - I	25 °C	2 - 7	5	25 - 250	30.769	[11]